

## ТЕПЛОМАССОБМЕН И ФИЗИЧЕСКАЯ ГАЗОДИНАМИКА

УДК 536.21

### ВЛИЯНИЕ КОМПОНЕНТОВ ТЕНЗОРА ТЕПЛОПРОВОДНОСТИ ТЕПЛОЗАЩИТНОГО МАТЕРИАЛА НА ВЕЛИЧИНУ ТЕПЛОВЫХ ПОТОКОВ ОТ ГАЗОДИНАМИЧЕСКОГО ПОГРАНИЧНОГО СЛОЯ

© 2019 г. В. Ф. Формалев<sup>1, \*</sup>, С. А. Колесник<sup>1, \*\*</sup>, Е. Л. Кузнецова<sup>1, \*\*\*</sup>

<sup>1</sup>Московский авиационный институт (национальный исследовательский университет),  
Москва, Россия

\*E-mail: formalev38@yandex.ru

\*\*E-mail: sergey@oviont.com

\*\*\*E-mail: lareyna@mail.ru

Поступила в редакцию 10.05.2018 г.

После доработки 18.06.2018 г.

Принята к печати 10.10.2018 г.

На основе впервые полученного аналитического решения задачи теплопереноса в анизотропном композиционном материале в условиях конвективно-кондуктивного теплообмена при обтекании высокотемпературным газодинамическим пограничным слоем исследовано влияние компонентов тензора теплопроводности теплозащитного материала на тепловые потоки от газа к телу. Такой анализ позволил установить заметное снижение тепловых потоков к боковой поверхности затупленного анизотропного тела при использовании теплозащитного материала с высокой степенью продольной анизотропии (например, пиролитических графитов, у которых отношение продольного коэффициента теплопроводности к поперечному может достигать ста и более). Основной вклад в уменьшение тепловых потоков вносит уменьшение величины градиента температур на границе газа и тела со стороны газа за счет повышения температуры тела вниз по потоку. Кроме этого, при росте температуры газа на стенке увеличивается динамическая вязкость и снижается плотность, что уменьшает локальные числа Рейнольдса и содействует уменьшению тепловых потоков. Анализируются численные результаты.

DOI: 10.1134/S0040364419010083

#### ВВЕДЕНИЕ

В условиях высокоинтенсивного аэрогазодинамического нагрева элементов конструкций гиперзвуковых летательных аппаратов в качестве теплозащитных материалов используются анизотропные материалы (графиты, графитосодержащие, композиционные материалы и др.). Теплозащитные материалы с высокой степенью продольной анизотропии (отношения продольного компонента тензора теплопроводности к поперечному) можно использовать для регулирования тепловых потоков от газодинамического пограничного слоя. Действительно, если спроектировать анизотропную теплозащиту так, чтобы продольная анизотропия составляла десятки, а то и сотни единиц, то появляется возможность канализировать тепловые потоки в теле от непосредственно затупления в хвостовую часть затупленного тела, что приводит к повышению температуры хвостовой части, уменьшению модуля градиента температуры на границе “газ–тело” со стороны газа и, как следствие, к уменьшению тепловых потоков от газа к боковой поверхности затупленного тела.

Целью данной работы является анализ влияния чисел Фурье, определяемых по продольному коэффициенту теплопроводности анизотропного теплозащитного материала, на тепловой поток к боковой поверхности затупленного тела от газодинамического пограничного слоя. На основе полученного аналитического решения третьей начально-краевой задачи теплопроводности в анизотропной тепловой защите исследован конвективно-кондуктивный теплообмен на границе “газ–твердое тело”.

Аналогичные аналитические решения задач теплопроводности рассматривались в работах Зарубина В.С., Кувыркина Г.Н., Савельевой И. [1], Карташова Э.М. [2], Аттеткова А.В., Волкова И.К. [3] и в [4–6]. В работах Кудинова И.В., Кудинова В.А., Котовой Е.В. [7], Кирсанова Ю.А. [8], а также авторов [9, 10] исследуется сопряженный теплообмен на границах анизотропных тел от газодинамических течений. Однако аналитическое решение двумерной задачи анизотропной теплопроводности в условиях конвективно-кондуктивного теплообмена получено и исследовано впервые.

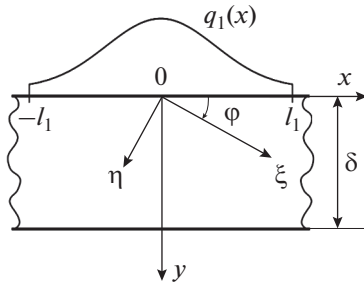


Рис. 1. Расчетная схема и системы координат ( $q_1(x) = \alpha_1(x)(T_e - T(x, 0, t))\eta(l_1 - |x|)$ ).

ПОСТАНОВКА ЗАДАЧИ

Рассматривается теплоперенос в анизотропной полосе неограниченной длины толщиной  $\delta$  (рис. 1), на границе  $y = 0$  которого приложен переменный в направлении оси  $0x$  конвективный тепловой поток экспоненциального характера, причем точка с координатами  $x = 0, y = 0$  является критической точкой, в окрестности которой наблюдается максимальный уровень теплового потока при обтекании высокотемпературным газодинамическим пограничным слоем. Математическая формулировка задачи содержит следующие уравнения для определения функции  $T(x, y, t)$ :

$$c\rho \frac{\partial T}{\partial t} = \lambda_{11} \frac{\partial^2 T}{\partial x^2} + \lambda_{12} \frac{\partial^2 T}{\partial x \partial y} + \lambda_{21} \frac{\partial^2 T}{\partial y \partial x} + \lambda_{22} \frac{\partial^2 T}{\partial y^2}, \quad (1)$$

$$x \in (-\infty, \infty), \quad y \in (0, \delta), \quad t > 0;$$

$$\left( \lambda_{21} \frac{\partial T}{\partial x} + \lambda_{22} \frac{\partial T}{\partial y} \right)_{y=0} = \alpha_1(x)(T_e - T(x, 0, t))\eta(l_1 - |x|), \quad (2)$$

$$x \in (-\infty, \infty), \quad t > 0;$$

$$\left( \lambda_{21} \frac{\partial T}{\partial x} + \lambda_{22} \frac{\partial T}{\partial y} \right)_{y=\delta} = 0, \quad x \in (-\infty, \infty), \quad t > 0; \quad (3)$$

$$T(x, y, 0) = 0, \quad x \in (-\infty, \infty), \quad y \in [0, \delta]. \quad (4)$$

В соотношениях (1)–(4) введены следующие обозначения:  $c$  – теплоемкость в Дж/(кг К),  $\rho$  – плотность в кг/м<sup>3</sup>,  $T(x, y, t)$  – температура в К,  $x, y$  – декартовы координаты в м,  $t$  – время в с,  $\alpha_1(x)$  – коэффициент теплоотдачи в Вт/(м<sup>2</sup> К),  $T_e$  – эффективная температура пограничного слоя в К,  $q(x)$  – плотность теплового потока в Вт/м<sup>2</sup>,  $T_0$  – начальная температура в К,  $\lambda_{ij}, i, j = \overline{1, 2}$  – компоненты тензора теплопроводности в Вт/(м К),  $\eta(z)$  – функция Хэвисайда.

Компоненты  $\lambda_{ij}, i, j = \overline{1, 2}$  вычисляются следующим образом:

$$\begin{aligned} \lambda_{11} &= \lambda_\xi \cos^2 \varphi + \lambda_\eta \sin^2 \varphi, \\ \lambda_{12} &= \lambda_{21} = (\lambda_\xi - \lambda_\eta) \sin \varphi \cos \varphi, \\ \lambda_{22} &= \lambda_\xi \sin^2 \varphi + \lambda_\eta \cos^2 \varphi, \end{aligned} \quad (5)$$

где  $\lambda_\xi, \lambda_\eta$  – главные компоненты тензора теплопроводности;  $\varphi$  – угол ориентации главных осей  $0\xi$  и  $0\eta$  тензора теплопроводности.

Для решения задачи (1)–(5) делается следующее предположение: коэффициент теплоотдачи  $\alpha_1(x)$  имеет экспоненциальный вид

$$\alpha_1(x) = \alpha_0 \exp(-kx^2)\eta(l_1 - |x|), \quad x \in (-\infty, \infty). \quad (6)$$

Если начальная температура (4) равна некоторому постоянному значению  $T_0$ ,

$$T(x, y, 0) = T_0, \quad x \in (-\infty, \infty), \quad y \in [0, \delta], \quad t = 0, \quad (7)$$

то заменой

$$T(x, y, t) = T_1(x, y, t) + T_0 \quad (8)$$

задача (1)–(4) формулируется относительно функции  $T_1(x, y, 0) = 0$ . Если функцию  $T_1(x, y, t)$  переобозначить через  $T(x, y, t)$ , то задача (1)–(4) сохраняет свой вид, но с однородным граничным условием (4).

В этом случае к итоговому решению необходимо добавить величину  $T_0$ .

МЕТОД РЕШЕНИЯ

Для решения задачи (1)–(8) используем метод построения граничной функции влияния (функции Грина), для чего граница области  $y = 0$  и  $y = \delta$  разбивается на  $2J$  отрезков  $\Delta\xi_j$ , в центре  $\xi_j$  каждого из которых вместо граничного условия (2) используется граничное условие вида

$$\begin{aligned} -\left( \lambda_{21} \frac{\partial T}{\partial x} + \lambda_{22} \frac{\partial T}{\partial y} \right)_{y=0} - \alpha_1(x)T(x, 0, t) &= \\ &= -T_e \alpha_1(\xi_j) \delta(x - \xi_j); \end{aligned} \quad (9)$$

$$\xi_j \in (\Delta\xi_j), \quad j \in (-J, J), \quad t > 0,$$

а на границе  $y = \delta$  граничное условие (3) однородно. В выражении (9)  $\delta(x - \xi_j)$  – дельта-функция Дирака.

На боковых границах тепловые потоки в соответствии с (2), (3) и (6) равны нулю. Если в результате решения задачи (1), (3)–(9) получено  $T(x, \xi_j, y, t)$ , то это решение является распределением температуры в расчетной области  $x \in (-\infty, \infty), y \in (0, \delta), t > 0$  под действием точечного источника теплоты  $T_e \alpha_1(\xi_j) \delta(x - \xi_j)$ , приложенного в точке

$\xi_j \in \Delta\xi_j, j \in (-J_1, J_1)$ . Оно называется граничной функцией источника и обозначается

$$T(x, \xi_j, y, t) = G(x, \xi_j, y, t). \tag{10}$$

Если функция источника  $G(x, \xi_j, y, t)$  найдена, то приближенное решение задачи (1), (9), (3)–(8) определяется суммой

$$\bar{T}(x, y, t) = \sum_{j=-J_1}^{J_1} G(x, \xi_j, y, t) T_e \alpha_1(\xi_j) \Delta\xi_j.$$

Пределом этих интегральных сумм при  $\Delta\xi_j \rightarrow 0$  будет решение задачи (1), (9), (3)–(8)

$$T(x, y, t) = \lim_{\Delta\xi \rightarrow 0} \bar{T}(x, y, t) = \oint_C G(x, \xi, y, t) T_e \alpha_1(\xi) d\xi, \tag{11}$$

где  $C$  – замкнутый контур, ограничивающий расчетную область  $x \in (-\infty, \infty), y \in [0, \delta]$ .

Для нахождения функции источника (10) применим к задаче (1), (9), (3)–(8) преобразования Фурье по переменной  $x$  и Лапласа – по переменной  $t$ :

$$T_{\omega,p}(y) = \int_{-\infty}^{\infty} \int_0^{\infty} T(x, y, t) \exp(-i\omega x) \exp(-pt) dx dt.$$

Приходим к следующей краевой задаче для обыкновенного дифференциального уравнения с мнимыми коэффициентами относительно функции источника  $G_{\omega,p}(y) = T_{\omega,p}(y)$ :

$$\frac{\partial^2 G_{\omega,p}}{\partial y^2} + 2i\omega \frac{\lambda_{12}}{\lambda_{22}} \frac{\partial G_{\omega,p}}{\partial y} - \frac{\lambda_{11}\omega^2 + c\rho p}{\lambda_{22}} G_{\omega,p} = 0, \tag{12}$$

$$0 < y < \delta;$$

$$\frac{\partial G_{\omega,p}}{\partial y} + \frac{i\omega\lambda_{12} + \bar{\alpha}_1}{\lambda_{22}} G_{\omega,p} = \frac{T_e \alpha_1(\xi_j)}{\lambda_{22} p} \exp(-i\omega \xi_j), \tag{13}$$

$$y = 0;$$

$$\lambda_{22} \frac{\partial G_{\omega,p}}{\partial y} + i\omega\lambda_{12} G_{\omega,p} = 0, \quad y = \delta, \tag{14}$$

где  $\bar{\alpha}_1$  – среднеинтегральное значение коэффициента теплоотдачи  $\alpha_1(x) = \alpha_0 \exp(-kx^2)$  на отрезке  $x \in [0, l_1]$ :

$$\bar{\alpha}_1 = \frac{\alpha_0}{l_1} \int_0^{l_1} \exp(-kx^2) dx = \frac{\alpha_0}{2l_1} \sqrt{\frac{\pi}{k}} \operatorname{erf}(\sqrt{k}l_1). \tag{15}$$

Решением задачи (12)–(14) является функция

$$G_{\omega,p}(\xi_j, t) = \exp(-i\omega\alpha y) T_e \alpha_1(\xi_j) \exp(-i\omega\xi_j) \times \frac{\exp(-K_{\omega,p}(\delta - y) + \exp(K_{\omega,p}(\delta - y)))}{p[\lambda_{22}K_{\omega,p}(\exp(-K_{\omega,p}\delta) - \exp(K_{\omega,p}\delta)) + \bar{\alpha}_1(\exp(K_{\omega,p}\delta) + \exp(-K_{\omega,p}\delta))]} \tag{16}$$

где

$$K_{\omega,p} = \sqrt{\beta\omega^2 + \gamma p}, \quad \alpha = \lambda_{12}/\lambda_{22}, \quad \beta = \frac{\lambda_{11}\lambda_{22} - \lambda_{12}^2}{\lambda_{22}^2}, \quad \gamma = c\rho/\lambda_{22}.$$

Обратное преобразование Лапласа выражения (16) осуществим по формуле Меллина [11, 12]

$$G_w(\xi_j, y, t) = \frac{\exp(-i\omega\alpha y)}{\lambda_{22}} T_e \alpha_1(\xi_j) \exp(-i\omega\xi_j) \times \frac{1}{2\pi i} \int_{\sigma-i\infty}^{\sigma+i\infty} \frac{[\exp(-K_{\omega,p}(\delta - y) + \exp(K_{\omega,p}(\delta - y)))] \exp(pt) dp}{p \left[ K_{\omega,p}(\exp(-K_{\omega,p}\delta) - \exp(K_{\omega,p}\delta)) + \frac{\bar{\alpha}_1}{\lambda_{22}}(\exp(K_{\omega,p}\delta) + \exp(-K_{\omega,p}\delta)) \right]} \tag{17}$$

Вычислить интеграл в (17) без предварительного преобразования не удастся. Поэтому рассмотрим два предельных случая: 1) большая толщина  $\delta$  (т.е. тело сплошное или полубесконечное), 2) малая толщина ( $K_{\omega,p}\delta \sim 1$ ).

В первом случае после деления числителя и знаменателя подынтегральной функции в (17) на  $\exp(K_{\omega,p}\delta)$  получим

$$G_w(\xi_j, y, t) = \frac{\exp(-i\omega\alpha y)}{\lambda_{22}} T_e \alpha_1(\xi_j) \exp(-i\omega\xi_j) \times \frac{1}{2\pi i} \int_{\sigma-i\infty}^{\sigma+i\infty} \frac{\exp(-\sqrt{\beta\omega^2 + \gamma p y})}{p \left[ -\sqrt{\beta\omega^2 + \gamma p} + \frac{\bar{\alpha}_1}{\lambda_{22}} \right]} \exp(pt) dp. \tag{18}$$

Во втором случае все экспоненты в [17], зависящие от  $\delta$ , разложим в ряды Тейлора с удержанием линейных членов.

$$G_\omega(\xi_j, y, t) = \exp(-i\omega\alpha y) T_e \alpha_1(\xi_j) \exp(-i\omega\xi_j) \times \frac{1}{c\rho\delta} \frac{1}{2\pi i} \int_{\sigma-i\infty}^{\sigma+i\infty} \frac{\exp(pt) dp}{p \left[ p - \left( \frac{\beta\omega^2}{\gamma} + \frac{\bar{\alpha}_1}{c\rho\delta} \right) \right]} \quad (19)$$

На основе теоремы о произведении двух изображений  $1/p$  и  $[p - (\beta\omega^2/\gamma + \bar{\alpha}_1/c\rho\delta)]^{-1}$  из выражения (19) находим

$$G_\omega(\xi_j, y, t) = \frac{\exp(-i\omega\alpha y) T_e \alpha_1(\xi_j) \exp(-i\omega\xi_j)}{c\rho\delta} \times \int_0^t \eta(\tau) \exp\left[\left(\frac{\beta\omega^2}{\gamma} + \frac{\bar{\alpha}_1}{c\rho\delta}\right)(t-\tau)\right] d\tau, \quad (20)$$

где  $\eta(\tau)$  – единичная функция.

При вычислении интеграла в (18) используем теорему о произведении изображений  $F_1(p) = 1/p \Leftrightarrow \eta(t)$  и

$$F_2(p) = \frac{\exp(-\sqrt{\beta\omega^2 + \gamma p y})}{-\sqrt{\beta\omega^2 + \gamma p + \bar{\alpha}_1/\lambda_{22}}}. \quad (21)$$

Для изображения (21) оригиналом является функция [11, 12]

$$f_2(t) = \frac{1}{2\pi i} \int_{\sigma-i\infty}^{\sigma+i\infty} \frac{\exp(-\sqrt{\beta\omega^2 + \gamma p y})}{-\sqrt{\beta\omega^2 + \gamma p + \bar{\alpha}_1/\lambda_{22}}} \exp(pt) dp = \frac{1}{\sqrt{\gamma}} \exp\left(-\frac{\beta\omega^2}{\gamma} t\right) \exp\left(\frac{-\bar{\alpha}_1 y}{\lambda_{22}} + \frac{\bar{\alpha}_1^2 t}{\lambda_{22}^2 \gamma}\right) \times \left\{ \frac{1}{\sqrt{\pi t}} \exp\left[-\frac{\left(-y\sqrt{\gamma} + \frac{2\bar{\alpha}_1}{\lambda_{22}\sqrt{\gamma}} t\right)^2}{4t}\right] - \frac{\bar{\alpha}_1}{\lambda_{22}\sqrt{\gamma}} \operatorname{erfc}\left(\frac{-y\sqrt{\gamma}}{2\sqrt{t}} + \frac{\bar{\alpha}_1\sqrt{t}}{\lambda_{22}\sqrt{\gamma}}\right) \right\}. \quad (22)$$

Тогда в соответствии с (18) и (20)

$$G_\omega(\xi_j, y, t) = \frac{T_e}{\sqrt{\gamma}\lambda_{22}} \alpha_1(\xi_j) \exp(-i\omega(\alpha y + \xi_j)) \times \exp\left(\frac{-\bar{\alpha}_1 y}{\lambda_{22}}\right) \int_0^t \eta(\tau) \exp\left(-\frac{\beta\omega^2}{\gamma} + \frac{\bar{\alpha}_1^2}{\lambda_{22}^2 \gamma}\right)(t-\tau) \times \left\{ \frac{1}{\sqrt{\pi(t-\tau)}} \exp\left[-\frac{-y\sqrt{\gamma} + \frac{2\bar{\alpha}_1}{\lambda_{22}\sqrt{\gamma}}(t-\tau)}{4(t-\tau)}\right] - \frac{\bar{\alpha}_1}{\lambda_{22}\sqrt{\gamma}} \operatorname{erfc}\left(\frac{-y\sqrt{\gamma}}{2\sqrt{t-\tau}} + \frac{\bar{\alpha}_1\sqrt{t-\tau}}{\lambda_{22}\sqrt{\gamma}}\right) \right\} d\tau. \quad (23)$$

Обратное преобразование Фурье от выражения (23) имеет вид

$$G(x, \xi_j, y, t) = \frac{T_e \alpha_1(\xi_j)}{\sqrt{\gamma}\lambda_{22} 2\pi} \exp\left(\frac{-\bar{\alpha}_1 y}{\lambda_{22}}\right) \times \int_0^t \int_{-\infty}^{\infty} \eta(\tau) \left\{ \exp[-i\omega(\alpha y + \xi_j - x)] \times \exp\left(-\frac{\beta(t-\tau)}{\gamma} \omega^2\right) d\omega \right\} \exp\left(\frac{\bar{\alpha}_1^2(t-\tau)}{\lambda_{22}^2 \gamma}\right) \times \left\{ \frac{1}{\sqrt{\pi(t-\tau)}} \exp\left[-\frac{\left(-y\sqrt{\gamma} + \frac{2\bar{\alpha}_1}{\lambda_{22}\sqrt{\gamma}}(t-\tau)\right)^2}{4(t-\tau)}\right] - \frac{\bar{\alpha}_1}{\lambda_{22}\sqrt{\gamma}} \operatorname{erfc}\left(\frac{-y\sqrt{\gamma}}{2\sqrt{t-\tau}} + \frac{\bar{\alpha}_1\sqrt{t-\tau}}{\lambda_{22}\sqrt{\gamma}}\right) \right\} d\tau. \quad (24)$$

Несобственный интеграл по параметру преобразования Фурье в (24) вычисляется следующим образом:

$$\int_{-\infty}^{\infty} \exp[-i\omega(\alpha y - x + \xi_j)] \exp\left(-\frac{\beta(t-\tau)}{\gamma} \omega^2\right) d\omega = \frac{\sqrt{\pi\gamma}}{\sqrt{\beta(t-\tau)}} \exp\left(-\frac{(\alpha y - x + \xi_j)^2}{4\beta(t-\tau)/\gamma}\right). \quad (25)$$

Подставляя (25) в (24), получаем функцию источника  $G(x, \xi_j, y, t)$

$$G(x, \xi_j, y, t) = \frac{T_e \alpha_1(\xi_j)}{\lambda_{22} 2\pi} \exp\left(\frac{-\bar{\alpha}_1 y}{\lambda_{22}}\right) \times \int_0^t \eta(\tau) \frac{1}{\sqrt{\beta(t-\tau)}} \exp\left(-\frac{(\alpha y - x + \xi_j)^2}{4\beta(t-\tau)/\gamma}\right) \times \exp\left(\frac{\bar{\alpha}_1^2(t-\tau)}{\lambda_{22}^2 \gamma}\right) \times \left\{ \frac{1}{\sqrt{t-\tau}} \exp\left[-\frac{\left(-y\sqrt{\gamma} + \frac{\bar{\alpha}_1\sqrt{t-\tau}}{\lambda_{22}\sqrt{\gamma}}\right)^2}{4(t-\tau)}\right] - \frac{\bar{\alpha}_1}{\lambda_{22}\sqrt{\gamma}} \operatorname{erfc}\left(\frac{-y\sqrt{\gamma}}{2\sqrt{t-\tau}} + \frac{\bar{\alpha}_1\sqrt{t-\tau}}{\lambda_{22}\sqrt{\gamma}}\right) \right\} d\tau. \quad (26)$$

Осталось подставить функцию (26) в (11), где замкнутый контур  $C$  включает прямую  $y = \delta$ , а также достаточно удаленные от начала координат боковые границы, где коэффициент теплоотдачи принимается равным нулю.

Окончательно в случае  $\delta \rightarrow \infty$  в соответствии с (11) и (26) находим решение третьей начально-краевой задачи в анизотропной области

$$T(x, y, t) = \frac{T_e \exp\left(\frac{-\bar{\alpha}_1 y}{\lambda_{22}}\right)}{2\pi\lambda_{22}} \times \int_0^t \int_{-l_1}^{l_1} \left[ \frac{\alpha_1(\xi)}{\sqrt{\beta(t-\tau)}} \exp\left(-\frac{(\alpha y - x + \xi)^2}{4\beta(t-\tau)/\gamma}\right) d\xi \right] \times (27) \\ \times \exp\left(A^2(t-\tau)\right) \left\{ \frac{1}{\sqrt{t-\tau}} \exp\left[-\left(A\sqrt{t-\tau} - \frac{B}{\sqrt{t-\tau}}\right)^2\right] - \right. \\ \left. - A \operatorname{erfc}\left(A\sqrt{t-\tau} - \frac{B}{\sqrt{t-\tau}}\right) \right\} d\tau,$$

где

$$A = \frac{\bar{\alpha}_1}{\lambda_{22}\sqrt{\gamma}}, \quad B = \frac{y\sqrt{\gamma}}{2},$$

$\bar{\alpha}_1$  определяется выражением (15).

Для малых толщин  $\delta$  аналогичное выражение будет получено из (20), для которого вначале необходимо выполнить обратное преобразование Фурье, а затем полученное выражение подставить в (11). В результате находим

$$T(x, y, t) = \frac{T_e \sqrt{\gamma}}{2c\rho\delta\sqrt{\pi}} \int_0^t \int_{-l_1}^{l_1} \frac{\alpha_1(\xi)}{\sqrt{\beta(t-\tau)}} \times (28) \\ \times \exp\left[-\frac{(\alpha y - x + \xi)^2}{4\beta(t-\tau)/\gamma}\right] \exp\left(-\frac{\bar{\alpha}_1(t-\tau)}{c\rho\delta}\right) d\xi d\tau,$$

где  $\alpha$ ,  $\beta$ ,  $\gamma$ ,  $\bar{\alpha}_1$  определяются так же, как в (27).

### АНАЛИЗ РЕЗУЛЬТАТОВ

На рис. 2 и 3 представлены результаты расчетов температуры  $T(x, 0, t)$  границы  $y = 0$  по (27) и тепловых потоков к этой границе в зависимости от чисел Фурье, рассчитанных по продольной теплопроводности  $\lambda_\xi$  в ортотропном случае ( $\varphi = 0^0, \lambda_{12} = 0$ ) и  $Fo = \lambda_\xi t / (c\rho l_1^2)$ .

Входные данные принимали следующие значения:  $\lambda_\xi = 100$  Вт/(м К),  $\lambda_\eta = 5$  Вт/(м К),  $c\rho = 10^6$  Дж/(м<sup>3</sup> К),  $l_1 = 0.1$  м,  $\varphi = 0$ ,  $T_e = 3000$  К,  $\alpha_1(x) = 600 \exp(-3\bar{x}^2)$  Вт/(м<sup>2</sup> К),  $\bar{x} = x/l_1$ ,  $\alpha_2 = 0$ . Нумерация кривых соответствует различным значениям чисел  $Fo$ : 1 –  $0.1(t = 10$  с), 2 –  $Fo = 0.2(t = 20$  с), 3 –  $Fo = 0.4(t = 40$  с), 4 –  $Fo = 0.5(t = 50$  с).

На рис. 2 представлены распределения температур вдоль границы  $y = 0$  правой половины пластины, поскольку в ортотропном случае ее

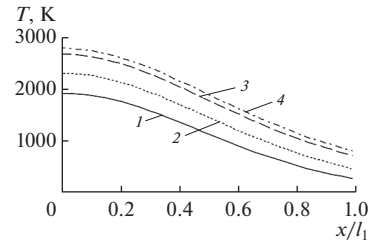


Рис. 2. Изменение температуры вдоль границы  $y = 0$ : 1 –  $Fo = 0.1$ , 2 –  $Fo = 0.2$ , 3 –  $Fo = 0.4$ , 4 –  $Fo = 0.5$ .

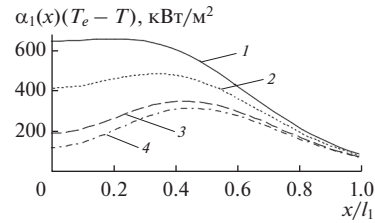


Рис. 3. Изменение тепловых потоков к границе  $y = 0$ : 1 –  $Fo = 0.1$ , 2 –  $Fo = 0.2$ , 3 –  $Fo = 0.4$ , 4 –  $Fo = 0.5$ .

прогрев симметричен относительно оси  $Oy$  (в анизотропном случае, когда  $\varphi \neq 0$  и  $\lambda_{12} \neq 0$ , температурное поле не обладает симметрией относительно оси  $Oy$ ). Ясно, что с ростом чисел  $Fo$  температуры границы  $y = 0$  растут. При этом, если точку  $x = 0, y = 0$  считать критической точкой затупленного тела, то хвостовая часть этого тела нагревается не только за счет конвективного теплового потока от пограничного слоя, но и вследствие перетока теплоты вдоль тела к периферийной его части из-за большой степени продольной анизотропии  $\lambda_\xi/\lambda_\eta = 20$ .

Такой рост температуры наружной границы приводит к резкому уменьшению конвективных тепловых потоков  $\alpha_1(x)(T_e - T(x, 0, t))$  за счет уменьшения градиента температуры на границе  $y = 0$  со стороны газа (рис. 3). При этом тепловые потоки на периферии уменьшаются вследствие не только экспоненциального уменьшения коэффициента теплоотдачи, но и увеличения температуры границы  $y = 0$  при перетоке теплоты на периферию внутри тела в результате высокой продольной теплопроводности по сравнению с поперечной (степень анизотропии  $\lambda_\xi/\lambda_\eta = 20$ ).

### ЗАКЛЮЧЕНИЕ

На основе построения граничной функции источника (граничной функции Грина) и применения интегральных преобразований Фурье и Лапласа впервые получено аналитическое решение двумерной нестационарной задачи теплопровод-

ности в анизотропной полосе в условиях конвективно-кондуктивного теплообмена на границах. Аналитические решения найдены в двух случаях: для сплошного анизотропного тела и тонкой анизотропной пластины. Полученные результаты показывают, что увеличение чисел  $Fo$ , вычисленных по продольной теплопроводности ортотропного тела, существенно снижает тепловые потоки не только за счет уменьшения коэффициента теплоотдачи, но и за счет значительного продольного перетока теплоты из-за высокой степени продольной анизотропии.

Работа выполнена при финансовой поддержке Министерства образования и науки Российской Федерации, проект № 9.7100.2017/6.7, руководитель – Кузнецова Е.Л.

### СПИСОК ЛИТЕРАТУРЫ

1. *Zarubin V.S., Kuvyrkin G.N., Savelyeva I.Y.* Two-Sided Thermal Resistance Estimates for Heat Transfer Through an Anisotropic Solid of Complex Shape // *Int. J. Heat Mass Transfer*. 2018. V. 116. P. 833.
2. *Карташов Э.М.* Математическое моделирование теплопроводности с двухфазным запаздыванием // *ИФЖ*. 2016. Т. 89. № 2. С. 338.
3. *Аттетков А.В., Волков И.К.* Температурное поле анизотропного полупространства, подвижная граница которого содержит пленочное покрытие // *Изв. РАН. Энергетика*. 2015. № 3. С. 39.
4. *Формалев В.Ф., Колесник С.А.* Аналитическое исследование теплопереноса в анизотропной полосе при задании тепловых потоков на границах // *ИФЖ*. 2016. Т. 89. № 4. С. 973.
5. *Формалев В.Ф., Колесник С.А., Кузнецова Е.Л.* Нестационарный теплоперенос в анизотропном полупространстве в условиях теплообмена с окружающей средой, имеющей заданную температуру // *ТВТ*. 2016. Т. 54. № 6. С. 878.
6. *Формалев В.Ф., Колесник С.А., Чипашвили А.А.* Аналитическое исследование теплопереноса при пленочном охлаждении тел // *ТВТ*. 2006. Т. 44. № 1. С. 107.
7. *Кудинов И.В., Кудинов В.А., Котова Е.В.* Дополнительные граничные условия в нестационарных задачах теплопроводности // *ТВТ*. 2017. Т. 55. № 4. С. 556.
8. *Кирсанов Ю.А.* Влияние тепловой релаксации и термического демпфирования на переходные процессы при циклических граничных условиях // *ТВТ*. 2017. Т. 55. № 4. С. 549.
9. *Формалев В.Ф., Колесник С.А.* Об обратных граничных задачах теплопроводности по восстановлению тепловых потоков к анизотропным телам с нелинейными характеристиками теплопереноса // *ТВТ*. 2017. Т. 55. № 4. С. 564.
10. *Формалев В.Ф., Колесник С.А.* Сопряженный теплоперенос между пристенными газодинамическими течениями и анизотропными телами // *ТВТ*. 2007. Т. 45. № 1. С. 85.
11. *Лыков А.В.* Теория теплопроводности. М.: Высшая школа, 1967. 600 с.
12. *Дёч Г.* Руководство к практическому применению преобразования Лапласа. М.: Наука, 1965. 288 с.